

FIG. 1A

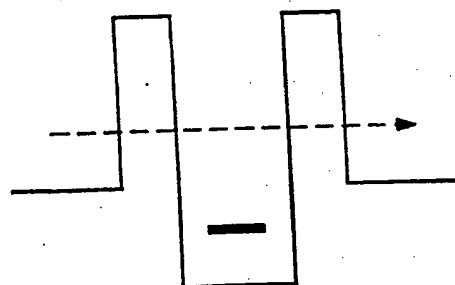


FIG. 1B

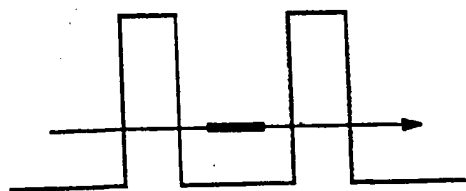


FIG. 2A

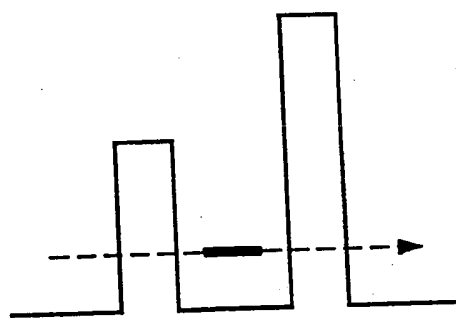


FIG. 2B

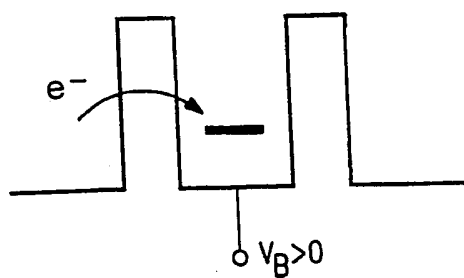


FIG. 3A

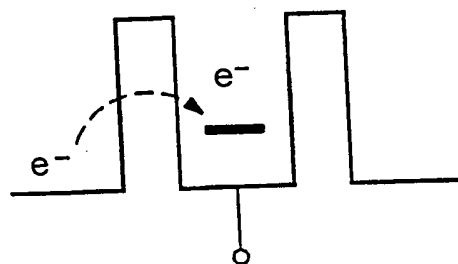


FIG. 3B

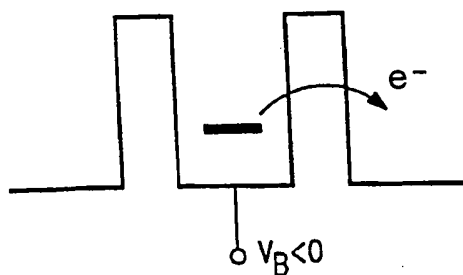


FIG. 3C

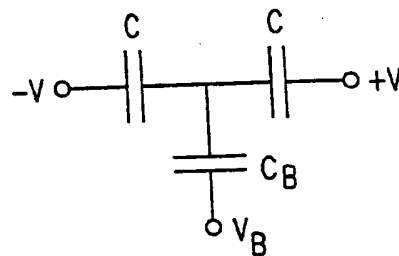


FIG. 3D

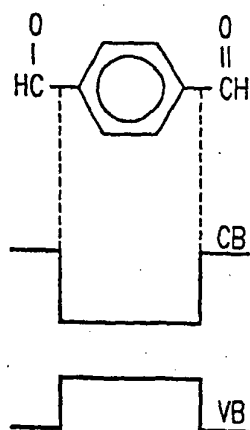


FIG. 4A

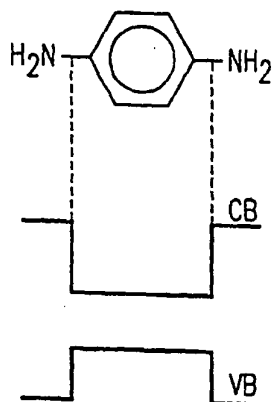


FIG. 4B

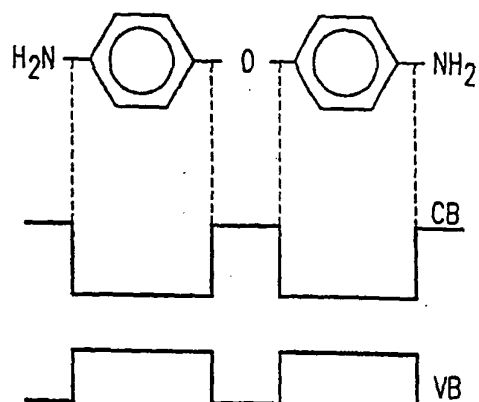


FIG. 4C

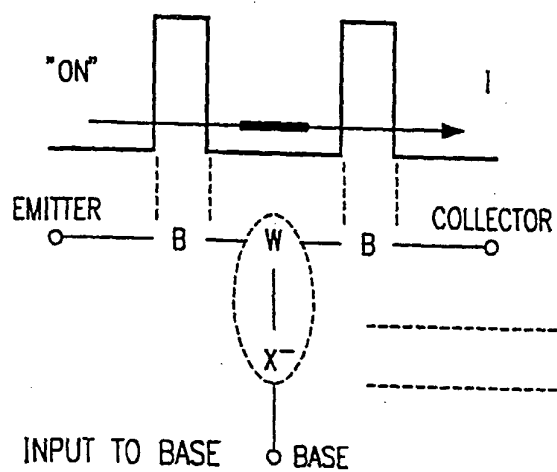


FIG. 5A

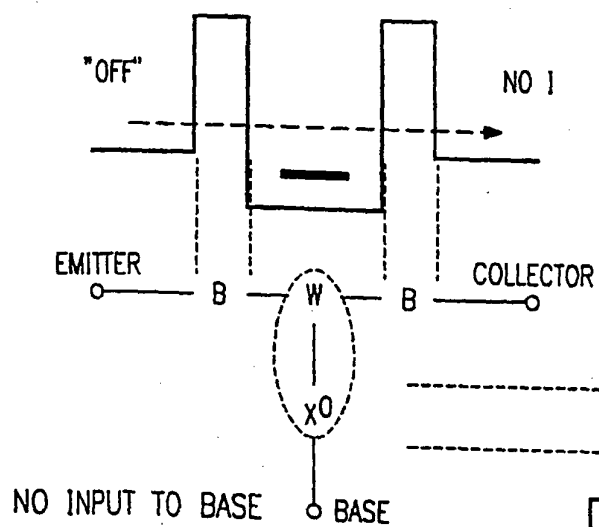


FIG. 5B

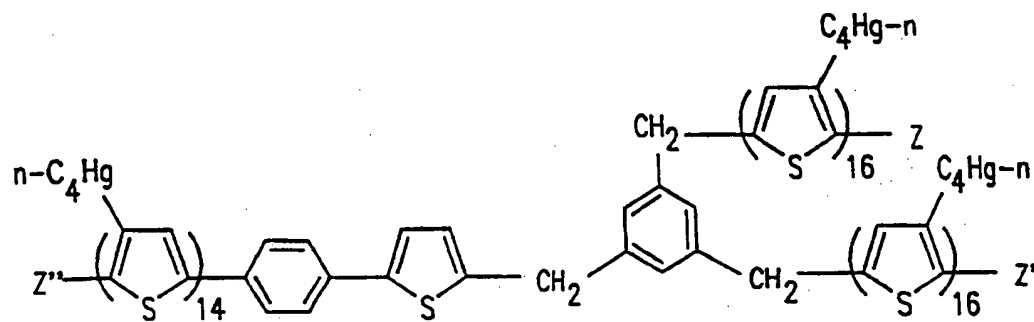


FIG. 6

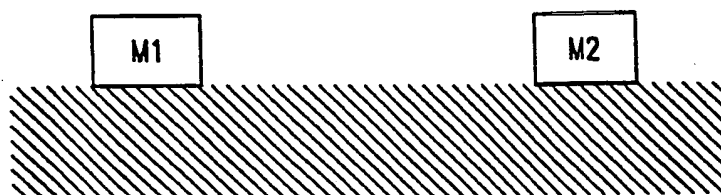


FIG. 7A

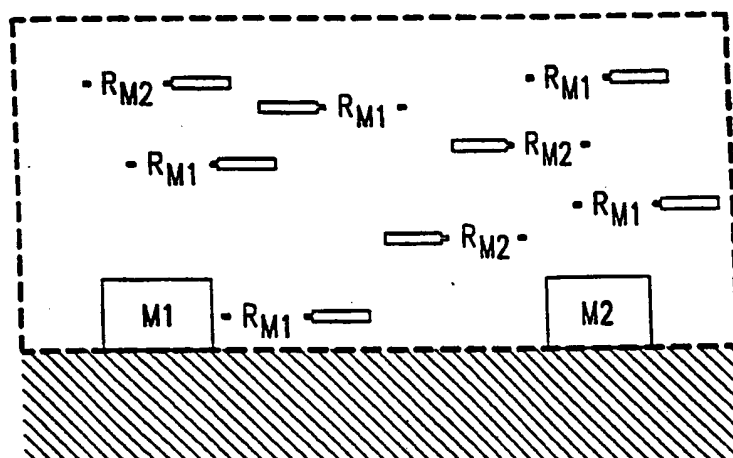


FIG. 7B

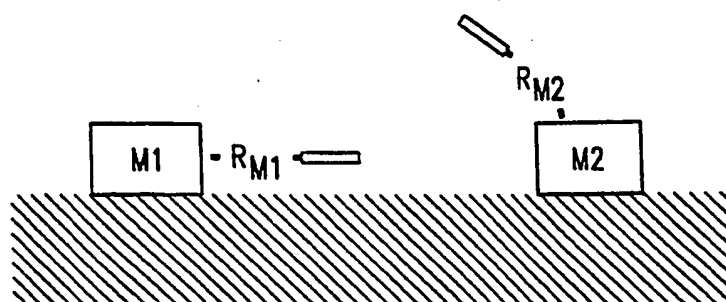


FIG. 7C

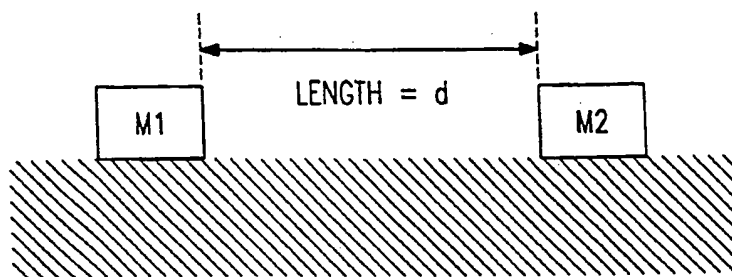


FIG. 8A

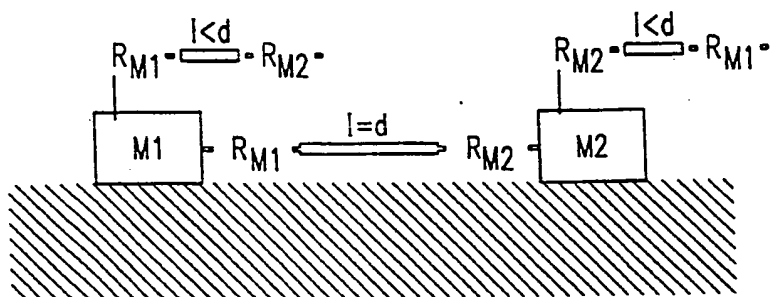


FIG. 8B

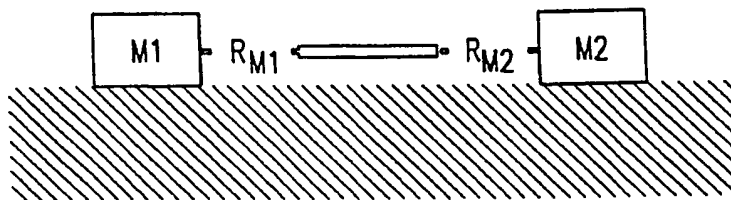


FIG. 8C

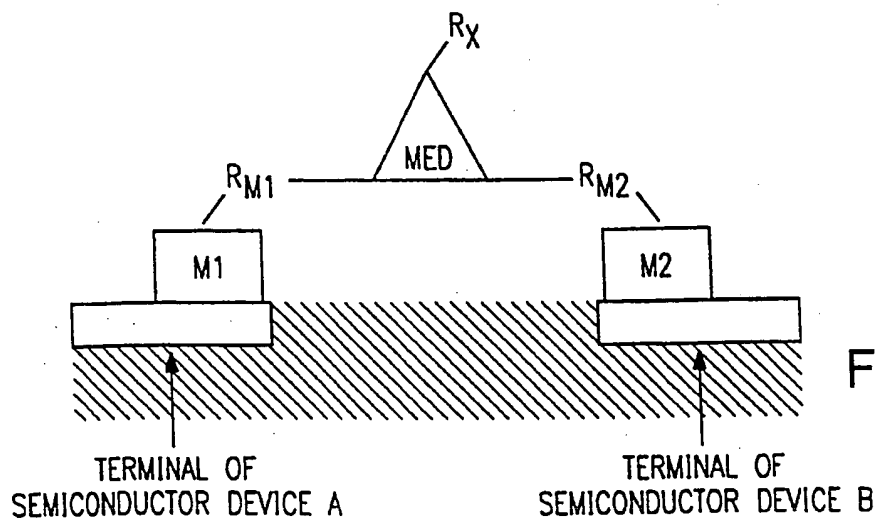


FIG. 9

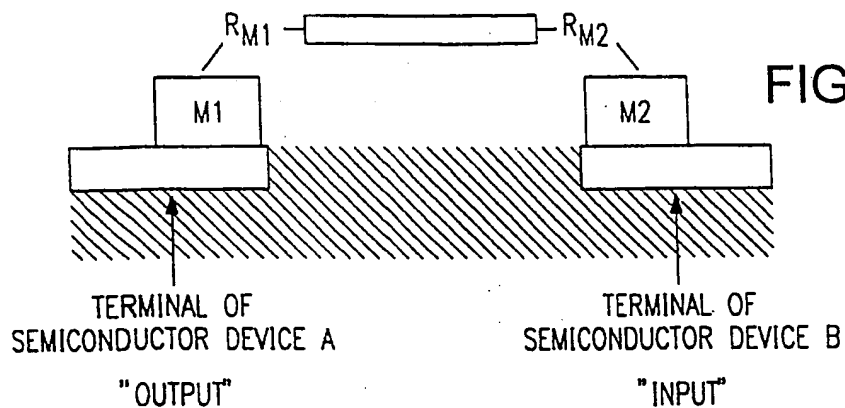


FIG. 10

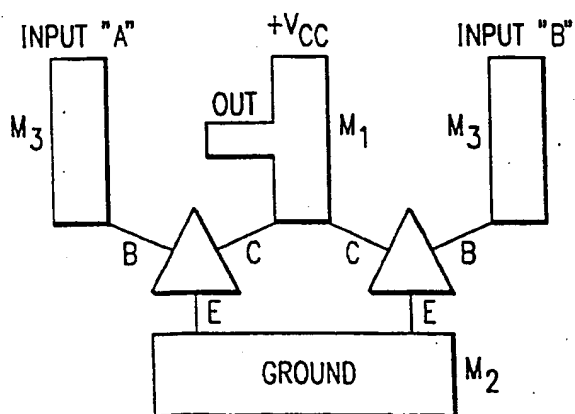


FIG. 11

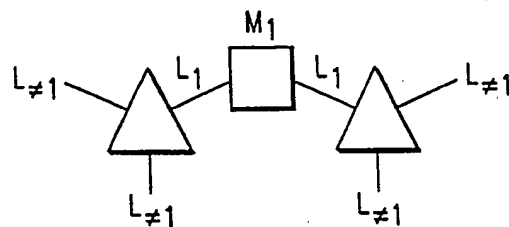
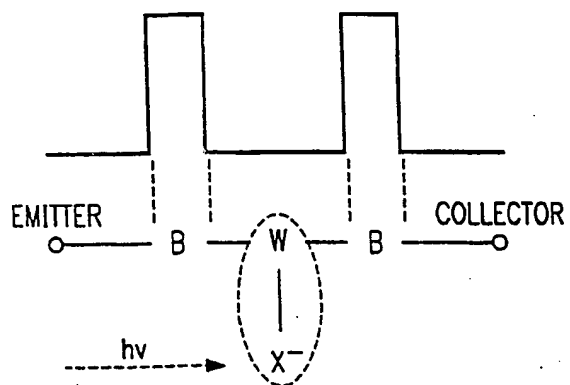
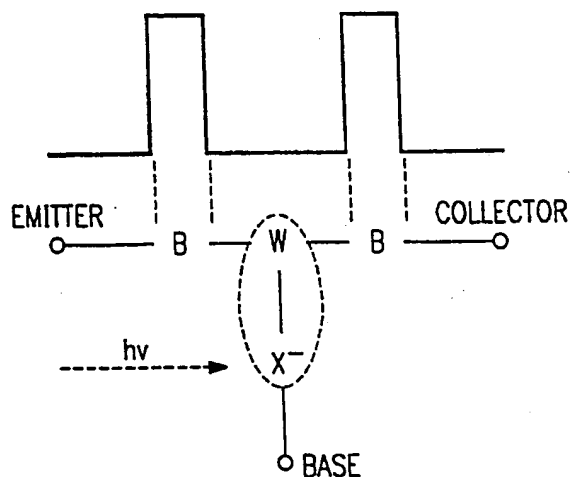


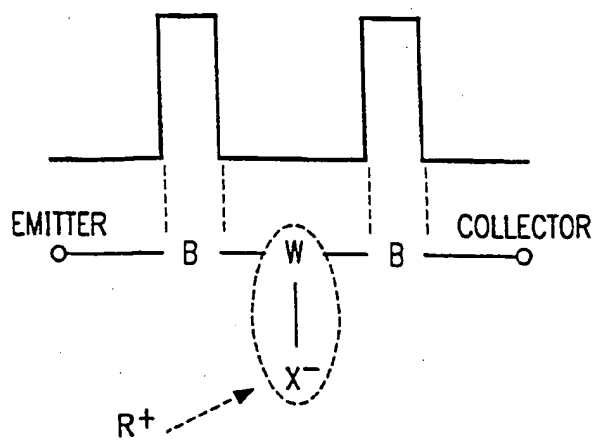
FIG. 12



PHOTON INPUT TO BASE
FIG. 13A



ELECTRONIC
INPUT TO BASE
FIG. 13B



IONIC INPUT TO BASE
FIG. 13C

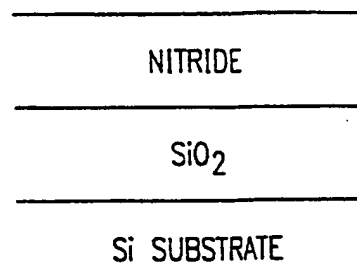


FIG. 14A

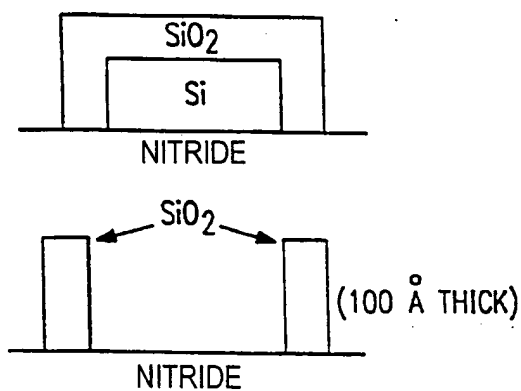


FIG. 14B

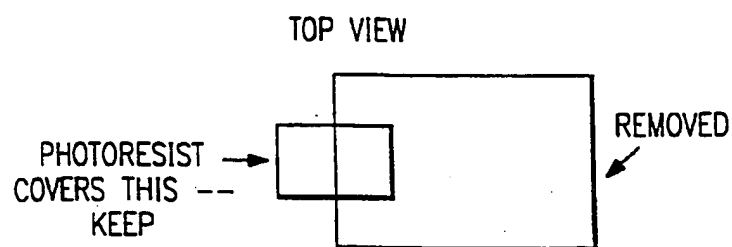


FIG. 14C

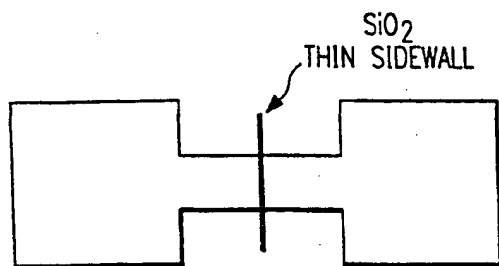


FIG. 14D1

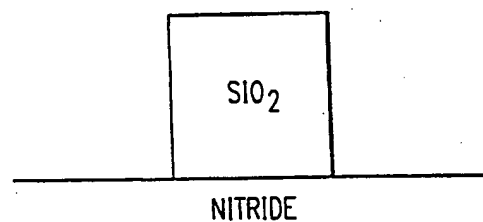


FIG. 14D2

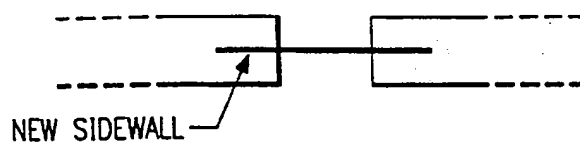
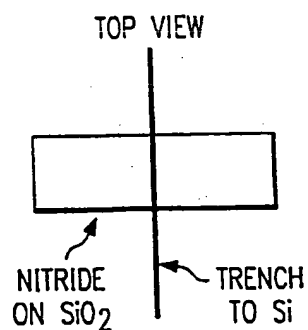


FIG. 14E1



SIDE VIEW

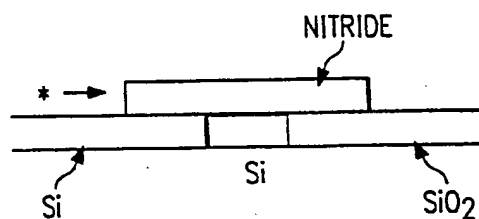


FIG. 14E2

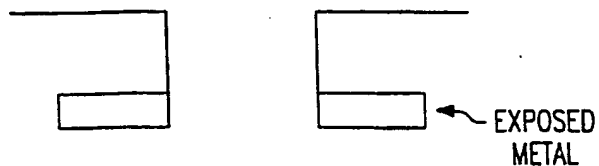


FIG. 14F2

